## КРИСТАЛЛОГРАФИЯ

УДК 548.736

## В. И. ЛЮТИН, А. Г. ТУТОВ, В. В. ИЛЮХИН, академик Н. В. БЕЛОВ

## КРИСТАЛЛИЧЕСКАЯ СТРУКТУРА АНТИФЕРРОМАГНИТНОГО К, Ni-ФОСФАТА KNiPO<sub>4</sub>

Ортофосфаты щелочных катионов с двухвалентными переходными металлами группы железа и общей брутто-формулой  $AMPO_4$ , где A=Li, Na, K; M=Mn, Fe, Co, Ni, привлекают к себе внимание прежде всего в связи с необычными магнитными свойствами (1-4). Первые в этом ряду — соединения Li и Na — относятся к структурному типу оливина (5), в рамках которого реализуется двойное гетеровалентное замещение:  $Mg+Si \rightarrow Li$ , Na +P. Структура калиевого ортофосфата была неизвестна, и интерес к нему со стороны и кристаллохимиков, и физиков стимулировал расшифровку последней.

В нашем распоряжении были мелкие прозрачные монокристаллы  $\mathrm{KNiPO_4}$ , полученные М. К. Чижовым при спонтанной кристаллизации\* из исходной шихты:  $\mathrm{NiO} + \mathrm{K_2HPO_4}$  в эквимолярном отношении. Приводимая формула  $\mathrm{KNiPO_4}$  удовлетворительно согласуется с данными химического анализа Я. С. Каменцева:  $\mathrm{NiO} - 38,19$ ;  $\mathrm{K_2O} - 24,21$ ;  $\mathrm{P_2O_5} - 36,26$  вес. %.

При пикнометрической плотности 3.23 г/см³ в ромбической ячейке с параметрами a=8.64; b=9.28; c=4.93 Å (4) содержится Z=4 формульных единицы. Определяемая по погасаниям рентгеновская группа mmPna — содержит две федоровских: Pnam и  $Pna2_1$ . Статистический анализ интенсивностей по (6) не позволил сделать однозначный выбор, и поэтому расшифровка структуры проводилась в рамках низшей ф.гр.  $Pna2_1$ .

Послуживший основой для расчета P(uvw) экспериментальный набор  $F_{hkl}^2$  включал более 500 ненулевых отражений hk0-hk4, зарегистрированных на линейном автоматическом дифрактометре Хильгер (эквинаклонная схема,  $MoK_{\alpha}$ -излучение, балансные фильтры Y и Zr ( $\sin\theta/\lambda \leqslant 0.8$ ). В экспериментальные интенсивности была введена поправка на ноглощение (сферический образец  $\phi \approx 0.4$  мм,  $\mu R = 1.24$ ).

Таблица 1 Координаты базисных атомов в KNiPO<sub>4</sub>

Атом	x/a	y/b	z/c	$B_j$	Атом	x/a	y/b	z/c	$B_{m j}$
Ni K P O <sub>1</sub>	$ \begin{vmatrix} 0,154 \\ -0,001 \\ 0,291 \\ 0,265 \end{vmatrix} $	0,043 0,316 0,374 0,220	$\begin{array}{c} 0,988 \\ 0,512 \\ 0,051 \\ 0,134 \end{array}$	0,42 1,04 0,42 1,15	O <sub>2</sub> O <sub>3</sub> O <sub>4</sub>	0,453 0,185 0,286	0,416 0,481 0,388	0,174 0,194 0,739	0,67 0,83 0,86

Структура решена методом ромбов ( $^7$ ). В реальной функции Патерсона P(uvw) путем построения функций минимализации ( $^8$ ) были выделены основные и сателлитные ромбы и после их согласования ( $^7$ ,  $^8$ ) — базисный отрезок. Дальнейшая минимализация по рецептам ( $^8$ ) выделила 5 из 7 базисных атомов. Два цикла построения  $\rho(xyz)$  привели к полной модели структуры при R=0.10. Уточнение позиционных параметров по ( $^9$ ) привело к  $R_{hhl}=0.075$ . Введение индивидуальных тепловых попра-

<sup>\*</sup> Условия синтеза: раствор KCl, температура  $1100^{\circ}$  C с последующим понижением до  $500^{\circ}$  C при скорости (охлаждения) 3° в час (4).

вок снизило R до 0.053, а с учетом экстинкции для наиболее сильных отражений — до 0.046.

Заключительные координаты базисных атомов и рассчитанные меж-

атомные расстояния приведены в табл. 1 и 2.

Высокозарядный компактный  $P^{5+}$  расположен в почти правильном тетраэдре:  $P-O:=1,52-1,57\,\mathrm{A}$  при разбросе ребер  $2,41-2,58\,\mathrm{A}$ . Для Ni проявилась необычная координация: пять его лигандов отстоят на  $1,95-2,18\,\mathrm{A}$  при шестом соседе, удаленном на  $3,42\,\mathrm{A}$ . Координационный полиэдр-пятивершинник, который можно описать как тетрагональную пирамиду или полуоктаэдр со сломленным по диагонали основанием, был уже

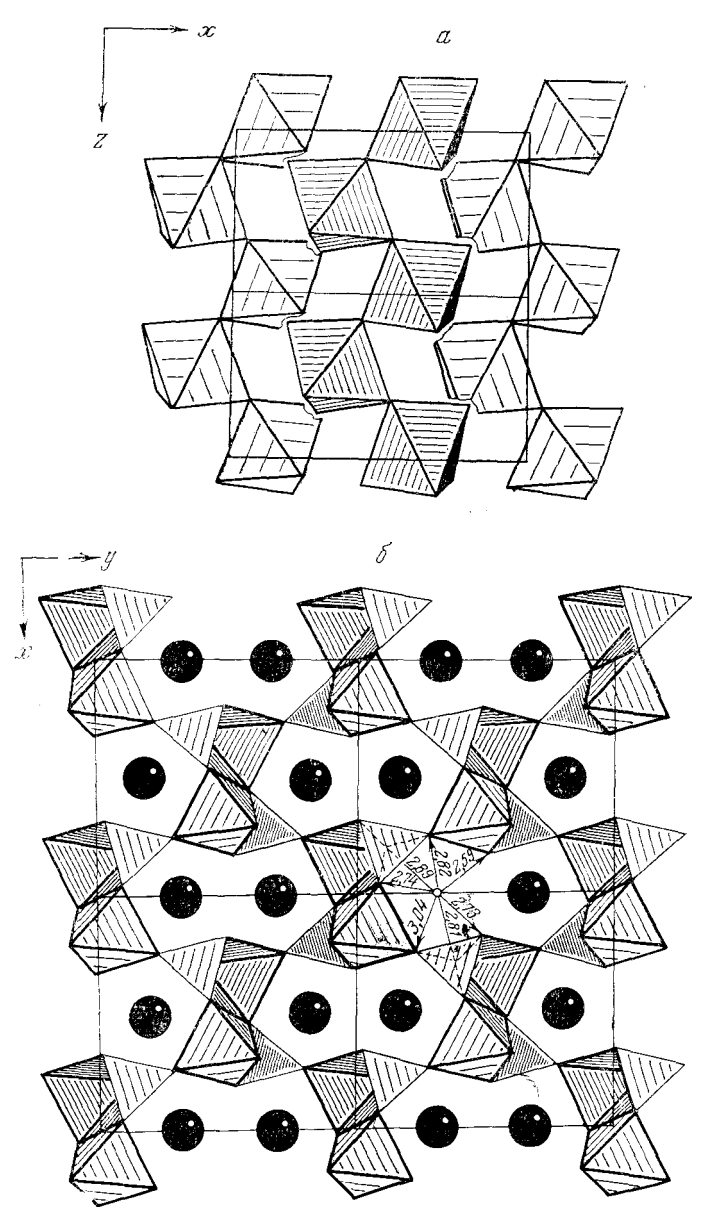


Рис. 1. KNiPO<sub>4</sub>. a — проекция xz структуры в полиэдрах. Выделены цепочки из Ni-пятивершинников, параллельные [001]. Более светлые полиэдры на уровнях  $y \sim 0$  и 1, более темные — на уровне  $y \sim {}^1/{}_2$ ; b — проекция b — выделены торцы цепочек из Ni-пятивершинников и связующие b — катионы b —

Межатомные расстояния в структуре KNiPO4 (B Å)

Ni - пятивершинник Ni — O <sub>1</sub> == 2,00	Р - тетраэдр Р — О1 — 1,52
$-O_2^* = 1,99$	$-0_2 = 1,57$
$-O_2^{**} = 2.18$	$-0_3 = 1,53$
$-0_3^* = 2.08$	$-0_4 = 1,54$
$-0_4^* = 1,95$	$O_1 - O_2 = 2,50$
К-семивершинник	$O_1 - O_3 = 2,52$
$K - O_1^{**} = 2,82$	$O_1 - O_4 = 2,51$
$-0_1 = 3.04$	$O_2 - O_3 = 2,41$
$-0_2^{**} = 2,74$	$O_2 - O_4 = 2,58$
$-0_3^{***} = 2.59$	$O_3 - O_4 = 2,56$
$-0_3 = 2.73$	
$-0_1 = 2.81$	
$-0_4^{**} = 2.89$	

<sup>\*</sup> Атомы, связанные с базисными плоскостью n. \*\* Атомы, связанные с базисными плоскостью a. \*\*\* То же, осью  $2_1$ .

Таблина 3 Формальный баланс валентностей в KNiPO<sub>4</sub>

,	Апион							
Катион	Oι	0,	O <sub>3</sub>	0,				
K Ni P	$\frac{^{2}/_{7}}{^{2}/_{5}}$	1/ <sub>7</sub> 4/ <sub>5</sub> 1 <sup>1</sup> / <sub>4</sub>	2/7 2/5 11/4	<sup>2</sup> / <sub>7</sub> <sup>2</sup> / <sub>5</sub> 1 <sup>1</sup> / <sub>4</sub>				
$\sum_{n_i}^{\omega_i}$	1,93(6)	2,19(2)	1,93(6)	1,93(6)				

ранее зафиксирован для Fe в фенаксите (10), для Mg в вагнерите (11) и для Си в синтетическом Na<sub>2</sub>CuSi<sub>4</sub>O<sub>10</sub> (12), но для Ni встречен впервые.

У крупного щелочного К в рыхлом семивершиннике из семи расстояний К – О (восьмой сосед отстоит на 3,74 Å) одно более короткое -2,59 Å, одно удлиненное — 3.04 А при прочих пяти 2,73-2,89 Å, близких к среднему —  $2.80 \, \text{Å}$ .

Архитектурный остов KNiPO<sub>4</sub> составляют балки-колонки, пронизывающие ячейку в направлепин [001]. Эти колонки барочного тина (качающиеся) из Ni-полиэдров панизанных винтовую ось 2, и соедицяющихся друг с другом одиночнывершинами (рис. 1). На ячейку приходится две таких цепочки: исходная (в начале ячейки) и, как то обычно в псевдоцентрированных группах  $C_{2v}^{9} = Pna_{-1}^{1},$  $D_{2h}^{16} = Pnam$ И связанная с ней отражением в плоскости п (или а) пепочка в середине ячейки. Псевдоцентрирующая колонка непосредственно не имеет общих элементов ни с исходной, ни с ее трансляционными аналогами, но материально связана с ними через Р-тетрардры, на двух высотах:  $z \sim 0$  и  $z \sim 1/2$ . Каждый тетрардр

PO<sub>4</sub> имеет общее ребро с Ni-пятивершинником одной колонки и общую вершину с другим Ni-полиэдром той же колонки. Своей четвертой вершиной Р-тетраэдр замыкается на Ni-пирамиду из другой колонки.

В ажурном каркасе из (Ni + P)-полиэдров создаются каналы вдоль [001]; их и заполняют крупные катионы К, также образующие бескопеч-

ные колонки, параллельные только что разобранным никелевым.

Ожидавшаяся из подобия формул близость KNiPO4 к ларсенизу (возможное двойное изоморфное замещение  $K+P \rightarrow Pb + Si$ при близких Ni и Zn, по аналогии с  $Li + P \rightarrow Mg + Si$  (5)) не подтвердилась; но зато неожиданно с химической точки зрения проявилось подобие геометрической постройки калий-никелевого фосфата KNiPO4 с натриевым цирконосиликатом Na<sub>2</sub>ZrSiO<sub>5</sub> (<sup>13</sup>). В последнем также «качающиеся» Zr-колонки цементируются друг с другом с помощью Si-тетраэдров, но если в центросимметричном цирконосиликате Si-тетраэдры поочередно «смотрят» вдоль оси z то «донышками», то «носиками», то в ацентричном фосфате носики всех тетраэдров-связок направлены в одну сторону и, возможно, что с этой полярностью частично связаны необычные физические свойства КNіРО4.

Формальный баланс валентности в структуре приведен в табл. 3.

Институт кристаллографии им. А. В. Шубникова Акалемии наук СССР Москва

Поступило 24 VII 1972

## ПИТИРОВАННАЯ ЛИТЕРАТУРА

<sup>1</sup> M. Mercier, J. Gareyte, E. F. Bertaut, C. R., 264B, № 13, 979 (1967).

<sup>2</sup> M. Mercier, P. Bauer, B. Fouilleux, C. R., 267B, № 25, 1345 (1968).

<sup>3</sup> M. Mercier, E. F. Bertaut et al., Solid St. Commun., 7, № 1, 149 (1969).

<sup>4</sup> A. Г. Тутов, С. А. Кижаев, М. К. Чижов, Тез. Всесоюзн. конфер. по магнетизму, Красноярск, 1971.

<sup>5</sup> H. Strunz, Mineralogische Tabellen. 5 Aufl., Leipzig, 1970.

<sup>6</sup> H. Foster, A. Hargreaves, Acta crystallogr., 16, 1134 (1963).

<sup>7</sup> Э. А. Кузьмин, В. П. Головачев, Н. В. Белов, ДАН, 192, № 1, 86 (1970).

<sup>8</sup> Э. А. Кузьмин, В. П. Головачев и др., Кристаллография, 18, 54 (1973).

<sup>9</sup> А. Б. Товбис, Б. М. Щедрин, Кристаллография, 15, 1127 (1970).

<sup>10</sup> В. П. Головачев, Автореф. кандидатской диссертации, М., 1970.

<sup>11</sup> А. Сода, G. Guiseppetti, С. Тадіпі, Аttі Асад. Lincei, 43, 212 (1967).

<sup>12</sup> А. Н. Корнев, Б. А. Максимов и др., ДАН, 205, № 4 (1972).

<sup>13</sup> Е. Н. Треушников, В. В. Илюхин, Н. В. Белов, ДАН, 190, № 4 (1970).